

## ЧИСЛЕННОЕ МОДЕЛИРОВАНИЕ He-Zn ЛАЗЕРА ВЫСОКОГО ДАВЛЕНИЯ

В.И. Держиев, А.Г. Жидков, А.В. Карелин, С.И. Яковленко

Построена кинетическая модель He-Zn лазера высокого давления с накачкой за счет объемной ионизации. Проведено численное моделирование релаксации He-Zn плазмы, исследована возможность формирования инверсии на переходах иона Zn II.

Лазеры на переходах ионов металлов второй группы таблицы Менделеева (Be, Mg, Ca, Zn, Sr, Cd, Ba, Hg) известны давно [1]. В последнее время к ним вновь проявляется интерес в связи с возможностью накачки смесей паров этих металлов с инертными газами при высоком давлении жесткими ионизаторами (электронными пучками и заряженными продуктами ядерных реакций) [2, 3]. В данной работе приводятся результаты численного моделирования релаксации He-Zn плазмы высокого давления ( $p \approx 1-3$  атм), возбуждаемой пучком высокозергетических электронов ( $E \approx 100$  кэВ). Плотность тока принималась равной  $100$  А/см<sup>2</sup>, диаметр пучка 1,5 см, длительность накачки по основанию 10 нс. Такие параметры характерны для малогабаритного ускорителя РАДАН-150 [4].

Проводились расчеты нестационарной кинетики и мощности генерируемого излучения. Рассчитывались концентрации ионов и возбужденных состояний  $\text{He}^+$ ,  $\text{He}_2^+$ ,  $\text{He}^*$ ,  $\text{He}_2^*$ ,  $\text{Zn}^+$ ,  $\text{Zn}_2^+$ ,  $\text{Zn}^{++}$ ,  $\text{Zn}^*$ , концентрация электронов  $N_e$ , а также электронная температура  $T_e$  при заданных концентрациях цинка и гелия ( $N_{\text{Zn}}$  и  $N_{\text{He}}$ ), газовой температуре  $T$  и характеристиках накачки. Всего рассматривалось 35 плазмохимических реакций, 13 возбужденных состояний иона Zn II ( $4p^2P_{1/2}, 3/2; 3d^94s^{22}S_{3/2}, 5/2; 5s^2S_{1/2}; 5p^2P_{1/2}, 3/2; 4d^2D_{3/2}, 5/2; 5d^2D_{3/2}, 5/2; 4f^2F_{5/2}, 7/2$ ) и одно эффективное состояние атома ZnI, составленное из двух метастабильных и одного долгоживущего состояния триплета Zn  $4s4p^3P_0, 1, 2$  с общей вероятностью распада  $3,28 \cdot 10^4$  с<sup>-1</sup>. Основными реакциями накачки состояний  $3d^94s^{22}D_{3/2}, 5/2$  являются реакции Пеннинга и перезарядки



а для уровней с конфигурацией  $3d^{10}$  n/m реакция перезарядки



Поскольку парциальные скорости реакции перезарядки с участием иона  $\text{He}_2^+$  неизвестны, то для (2) они принимались равными (1) (по аналогии с кадмием [5, 6]).

Система уравнений релаксации плазмы решалась с использованием комплекса программ PLASER [7]. Наиболее перспективными с точки зрения получения лазерной генерации в He-Zn смеси представляются переходы между бейтлеровскими ( $3d^94s^{22}D$ ) и  $4p^2P$  уровнями иона Zn II. Это связано с большим различием во временах жизни этих уровней, несмотря на то, что нижние уровни резонансно связаны с основным состоянием иона и подвержены реабсорбции резонансного излучения. На рис. 1 представлены зависимости выходной мощности и КПД (пунктир) для перехода с  $\lambda = 747,9$  нм ( $4s^{22}D_{5/2} - 4p^2P_{3/2}$ ) в зависимости от температуры активной среды. Температурная зависимость имеет оптимум в области  $T \approx 450 - 490$  °C. Спад мощности с ростом температуры объясняется интенсивным уводом ионов из верхнего рабочего состояния в реакции



с последующей диссоциативной рекомбинацией.

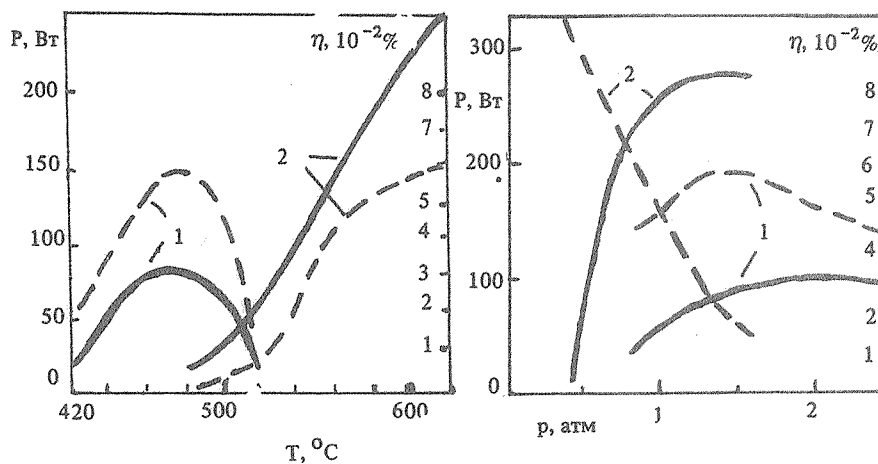


Рис. 1. Зависимость выходной мощности лазерного излучения Р и КПД активной среды  $\eta$  (пунктир) от температуры газа:  
1 —  $\lambda = 747,9$  нм,  $N_{\text{He}} = 2 \cdot 10^{19} \text{ см}^{-3}$ ,  
 $R = 85\%$ ; 2 —  $\lambda = 758,8$  нм,  $N_{\text{He}} = 1 \cdot 10^{19} \text{ см}^{-3}$ ,  $R = 50\%$ .

Рис. 2. Зависимость выходной мощности лазерного излучения Р от КПД активной среды  $\eta$  (пунктир) от давления гелия: 1 —  $\lambda = 747,9$  нм,  $T = 480$  °C,  $R = 85\%$ ; 2 —  $\lambda = 758,8$  нм,  $T = 610$  °C,  $R = 50\%$ .

Нижнее рабочее состояние нечувствительно к этой реакции вследствие большой вероятности радиационного распада. На рис. 2 представлена зависимость выходной мощности и КПД от концентрации буферного газа (гелия). Видно, что имеется оптимум в районе концентраций  $N \approx 1$  Амага, причем только по выходной мощности, а КПД монотонно падает с ростом  $N_{\text{He}}$ . Это связано с тем, что с ростом концентрации гелия растет энерговклад на единицу объема, однако при этом уширяется линия и растет вероятность увода ионов в реакции (4). Два последних обстоятельства приводят к падению КПД, а конкуренция с первым приводит к образованию оптимума по выходной мощности.

Таким образом, в результате численного моделирования релаксации He-Zn плазмы установлено, что из переходов между уровнями с конфигурацией  $3d^1 n/m$  наиболее перспективным является переход  $5p^2 P_{3/2} - 5s^2 S_{1/2}$  ( $\lambda = 758,8$  нм). В результате численного моделирования He-Zn лазера высокого давления с накачкой электронным пучком установлено, что оптимальные параметры активной среды для перехода с  $\lambda = 747,9$  нм следующие:  $T = 450 - 490$  °C,  $N_{\text{He}} \approx 1$  Амага. КПД среды не превышает 0,1%. Для перехода с  $\lambda = 758,8$  нм оптимальные условия генерации:  $T \geq 500$  °C,  $N_{\text{He}} \approx 0,5$  Амага. На других переходах инверсия либо отсутствует, либо слаба во всех расчетных диапазонах.

#### ЛИТЕРАТУРА

- Справочник по лазерам. Под ред. А.М. Прохорова, т. 1, М., Сов. радио. 1978, с. 184.
- Миськевич А.И. и др., Письма в ЖТФ, 6, 818 (1980).
- Rocca J.J., Mansini H.L., Wernsman B. IEEE J. of Quant. Electron., QE-22, 509 (1986).
- Ельчининов А.С. и др. Дефектоскопия, № 12, 68 (1984).
- Держиев В.И. и др. Препринт ИОФАН № 51, М., 1987.
- Держиев В.И. и др. Препринт ИОФАН № 282, М., 1987.
- Держиев В.И. и др. Препринт ИОФАН № 281, М., 1987.

Институт общей физики АН СССР

Поступила в редакцию 23 марта 1988 г.